

А. С. МОСТОВОЙ, Б. А. ЛАВРОВ

### ВЛИЯНИЕ УСТАЛОСТНОЙ ТРЕЩИНЫ НА ИЗГИБНУЮ ЖЕСТКОСТЬ ОБРАЗЦА

В статье «Об оценке усталостного повреждения образца по изменению его жесткости»\*) показано, что в качестве меры повреждения образца может быть рассмотрена относительная величина усталостной трещины. Последняя, в свою очередь, может быть связана с относительным изменением жесткости  $\frac{EI_{np}}{EI}$ , которое в процессе усталостных испытаний устанавливается через отношение напряжений, замеряемых в неповрежденном сечении образца в разные моменты времени

$$\bar{I}_{np} = \frac{EI_{np}}{EI} = \frac{\left(\frac{\sigma}{\sigma_p}\right)_t}{\left(\frac{\sigma}{\sigma_p}\right)_0}$$

Здесь  $I_{np}$  — приведенный момент инерции — момент инерции образца постоянного сечения, имеющего в точке приложения силы  $P$  такие же прогибы, как и поврежденный образец;

$I$  — момент инерции неповрежденного образца;

$\left(\frac{\sigma}{\sigma_p}\right)_t, \left(\frac{\sigma}{\sigma_p}\right)_0$  — отношение напряжений в неповрежденном сечении образца к напряжению в рессоре в момент времени  $t$  и в начальный момент  $t=0$ .

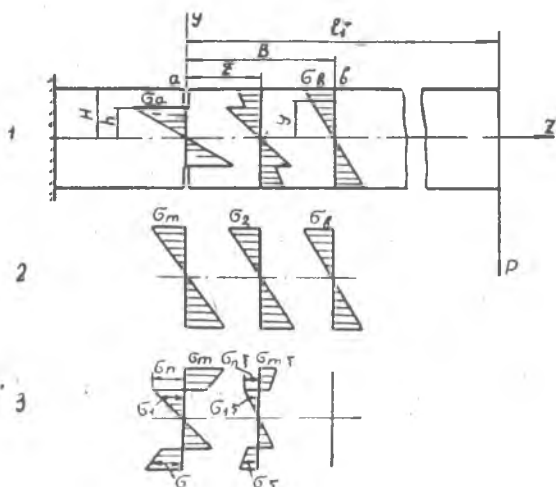
Настоящая работа посвящена теоретическому исследованию влияния усталостной трещины на изгибную жесткость образца. Исследование проведено для образца, выполненного в виде консольной балки из материала Д16Т и нагруженного сосредоточенной силой на свободном конце.

При других опорных устройствах и другом материале балки методики исследования остается той же, полученные зависимости, естественно, будут другими.

\* См. настоящий сборник.

## 1. Постановка задачи

Рассмотрим консольную балку (фиг. 1) с шириной, равной единице, в сечении  $a$  которой имеется трещина, симметричная относительно срединной плоскости балки. Длину трещины вдоль оси  $z$  полагаем весьма малой. Считаем, что трещина распространяется на всю ширину сечения и, по мере развития, увеличивается по высоте. Начало координат расположим в центре тяжести сечения  $a$ .



Фиг. 1.

В непосредственной близости от сечения  $a$  распределение нормальных напряжений не подчиняется плоскому закону. На участке длиной  $B$  происходит перераспределение этих напряжений. За пределами упомянутого участка можно считать эпюру нормальных напряжений линейной.

Для исследования напряженного состояния в переходной зоне принимаем линейный закон распределения относительных деформаций по сечению и диаграмму растяжения с линейным упрочнением. Упруго-пластическое решение будем искать методом последовательных приближений. Первое приближение для распределения напряжений в сечении  $a$  примем линейным.

Напряженное состояние на участке длиной  $B$  (см. фиг. 1, эпюры 1) представим в виде суммы линейных эпюр 2, обусловленных изгибающими моментами, и эпюру 3 самоуравновешенных напряжений, затухающих вдоль оси  $z$  по некоторому закону  $\xi(z)$ . Функцию затухания  $\xi(z)$  найдем из вариационного уравнения, полученного из условия минимума потенциальной энергии деформации.

Определив зону  $2B$  включения сечения в работу, устанавливаем распределение местных жесткостей  $EI_{rz}^*$  вдоль оси балки и приведенную (интегральную) жесткость  $EI_{пр}$  поврежденной балки в зависимости от размеров трещины.

Затем переходим ко второму приближению: рассматриваем эпюру напряжений в сечении  $a$  с «изломом» на основе принятой диаграммы растяжения.

Составление выражения для потенциальной энергии деформации и определение функции  $\xi(z)$  второго приближения представляет значительные трудности ввиду громоздкости аналитических выражений для ординат, ограничивающих упругую зону. В связи с этим, а также соблюдая равную корректность допущений, принятых в настоящей работе, считаем возможным ограничиться первым приближением для функции  $\xi(z)$ . Для определения же местных жесткостей  $EI_{rz}$  и приведенных жесткостей  $EI_{пр}$  используем распределение напряжений по второму приближению.

## 2. Потенциальная энергия деформации

Потенциальная энергия деформации, обусловленная нормальными напряжениями, запишется в виде

$$U(\sigma) = 2 \left[ \int_0^B \int_h^H \frac{(\sigma_z^*)^2}{2E} dydz + \int_0^B \int_0^h \frac{(\gamma \xi)^2}{2E} dydz \right]. \quad (1)$$

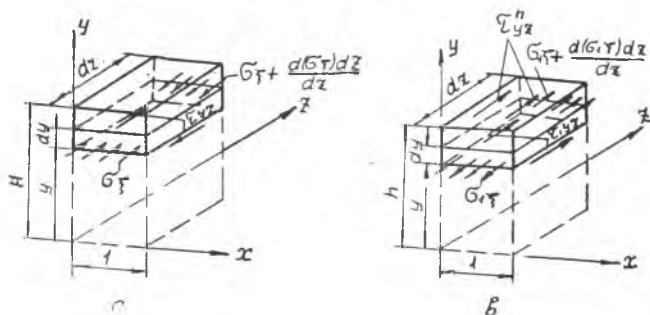
Соответствующие обозначения приведены на фиг. 1. Проведя интегрирование и некоторые преобразования, получим:

$$U_\sigma = A_\sigma \int_0^B \sigma_z^2 dz, \quad (2)$$

$$A_\sigma = \frac{M_a^2}{2EI} (\psi - 1), \quad (3)$$

где

$$\psi = \left( \frac{h}{h} \right)^3 = \frac{I}{I_a}.$$



Фиг. 2.

\* Определение этого понятия дано ниже.

Потенциальная энергия деформации, обусловленная касательными напряжениями, определяется из следующего выражения:

$$U_{\tau} = 2 \left[ \int_0^B \int_h^H \frac{\tau_{yz}^2}{2G} dydz + \int_0^B \int_0^h \frac{\tau_{1yz}^2}{2G} dydz \right]. \quad (4)$$

Здесь  $\tau_{yz}$ ,  $\tau_{1yz}$  — касательные напряжения соответственно на участках  $h—H$  и  $0—h$  сечения (фиг. 2а, в), определяемые из уравнений равновесия выделенного элемента балки

$$\int_y^H \frac{d(\sigma_y^z)}{dz} dydz + \tau_{yz} dz = 0;$$

$$\int_y^h \frac{d(\sigma_1^z)}{dz} dydz + (\tau_{yz}^h + \tau_{1yz}) dz = 0.$$

После соответствующих подстановок и преобразований, получим

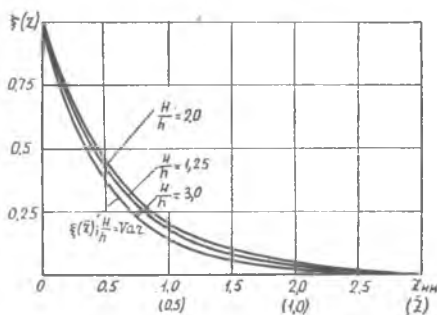
$$U_{\tau} = A_{\tau} \int_0^B (\xi')^2 dz; \quad (5)$$

$$A_{\tau} = \frac{M_a^2}{10GI} H^2 [\psi^{-\frac{2}{3}} (1 + 2\psi) - 3]. \quad (6)$$

### 3. Вариационное уравнение

Представим потенциальную энергию деформации балки в виде

$$U = U_{\sigma} + U_{\tau} = A_{\sigma} \int_0^B \xi^2 dz + A_{\tau} \int_0^B (\xi')^2 dz = \int_0^B \Phi dz.$$



Фиг. 3.

Условие минимума потенциальной энергии деформации

$$\Phi_{\xi} - \frac{d}{dz} \Phi_{\xi'} = 0$$

приводит к уравнению

$$\xi'' - u^2 \xi = 0, \quad (7)$$

где

$$u^2 = \frac{A_\sigma}{A_z}.$$

Используя граничные условия, получаем

$$\xi(z) = \operatorname{ch} uz - \frac{\operatorname{sh} uB}{\operatorname{ch} uB} \operatorname{sh} uz. \quad (8)$$

Так как под  $B$  понимается расстояние, на котором с достаточной точностью можно принять  $\xi(B) \approx 0$ , то

$$\operatorname{sh} uB \approx \operatorname{ch} uB,$$

что имеет место (с точностью до 0,1%) при  $uB \approx 4,0$ .

Тогда

$$\xi(z) = \operatorname{ch} uz - \operatorname{sh} uz = e^{-uz} \approx e^{-z/\bar{z}}, \quad (9)$$

где  $\bar{z} = \frac{z}{B}$

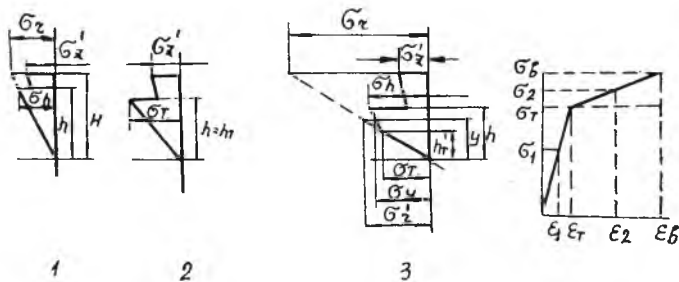
Кривые  $\xi(z)$  изображены на фиг. 3.

Воспользовавшись выражением для  $u^2$ , получим

$$B = \frac{4,0}{u} = 2,89H \sqrt{\frac{[\psi^{-2/3}(1+2\psi) - 3]}{\psi - 1}}. \quad (10)$$

#### 4. Местные моменты инерции балки

Установим закон распределения местных моментов инерции  $I_{rz}$  вдоль оси балки, для чего рассмотрим эпюры напряжений в сечениях балки на участке  $-B < z < B$ .



Фиг. 4.

Момент инерции  $I_{rz}$  — понятие, связанное с линейным распределением приведенных нормальных напряжений. Величина его должна удовлетворять условию  $\sigma = \frac{M_z}{I_{rz}}$  уф, где  $\sigma$  — напряжение в переходной зоне,  $\varphi = \frac{\sigma_z'}{\sigma_r}$  — редуцированный коэффициент (См. фиг. 4, эпюра 1).

Тогда

$$I_{rz} = \frac{M_z I \sigma_b}{M_b \sigma_z} \varphi.$$

Полагая  $M_z \approx M_a = \text{const}$  (в связи с малостью переходной зоны  $B$ ), в соответствии с фиг. 1, 4 получим:

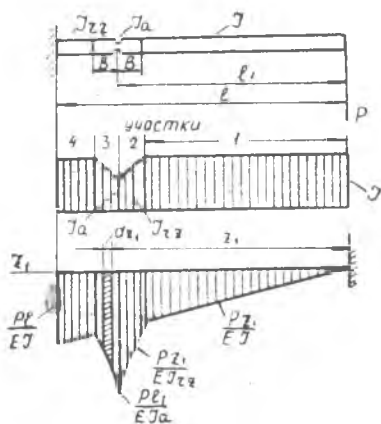
$$I_{rz} = \frac{I}{\xi \left( \frac{I}{I_a} - 1 \right) + 1} = \frac{I}{\xi (\psi - 1) + 1}. \quad (11)$$

### 5. Приведенная (интегральная) жесткость балки

Под приведенной жесткостью балки будем понимать жесткость, определяемую из выражения

$$EI_{\text{пр}} = \frac{P l^3}{3 y_0}, \quad (12)$$

где  $y_0$  — прогиб поврежденной балки в месте приложения силы ( $z_1 = 0$ ). Величину  $y_0$  определим графо-аналитическим методом как момент фиктивной балки в сечении  $z_1 = 0$ . (Фиг. 5)



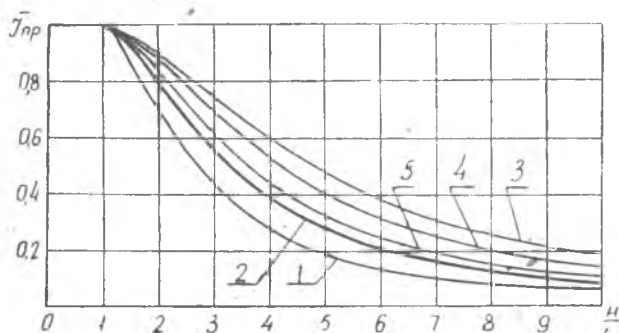
Фиг. 5.

$$y_0 = \int_0^{l_1-B} \frac{P z_1}{EI} z_1 dz_1 + \int_{l_1-B}^{l_1} \frac{P z_1}{EI_{rz}} z_1 dz_1 + \int_{l_1}^{l_1+B} \frac{P z_1}{EI_{rz}} z_1 dz_1 + \int_{l_1+B}^l \frac{P z_1}{EI} z_1 dz_1 = \frac{P l^3}{3EI} \sum_{i=1}^4 A_i. \quad (13)$$

Здесь приняты обозначения

$$A_1 = (\bar{l}_1 - \bar{B})^3$$

$$\begin{aligned}
 A_2 &= \frac{3}{4}(\psi - 1)(\bar{B}\bar{l}_1^2 - \frac{\bar{B}^2\bar{l}_1}{2} + \frac{\bar{B}^3}{8}) - \\
 &- \frac{3}{4}(\psi - 1)l^{-4}[\bar{B}(\bar{l}_1 - \bar{B})^2 - \frac{\bar{B}^2(\bar{l}_1 - \bar{B})}{2} + \frac{\bar{B}^3}{8}] + \\
 &\quad + \bar{l}_1^3 - (\bar{l}_1 - \bar{B})^3. \\
 A_3 &= -\frac{3}{4}(\psi - 1)l^{-4}[\bar{B}(\bar{l}_1 + \bar{B})^2 + \frac{\bar{B}^2(\bar{l}_1 + \bar{B})}{2} + \\
 &\quad + \frac{\bar{B}^3}{8}] + \frac{3}{4}(\psi - 1)(\bar{B}\bar{l}_1^2 + \frac{\bar{B}^2\bar{l}_1}{2} + \frac{\bar{B}^3}{8}) + \\
 &\quad + (\bar{l}_1 + \bar{B})^3 - \bar{l}_1^3. \\
 A_4 &= 1 - (\bar{l}_1 + \bar{B})^3. \\
 \bar{l}_1 &= \frac{l_1}{l}; \quad \bar{B} = \frac{B}{l}; \quad \bar{H} = \frac{H}{l}.
 \end{aligned}$$



Фиг. 6.

Проведем соответствующие преобразования, пренебрегая по малости членами, содержащими  $\bar{B}^2$ . Тогда получим

$$\bar{I}_{пр} = \frac{EI_{пр}}{EI} = \frac{1}{\sum A_i} = \frac{1}{1 + 4,26 \bar{l}_1^2 \bar{H} \sqrt{[\psi^{-3/2}(1+2\psi) - 3]} (\psi - 1)}. \quad (14)$$

Графики  $I_{пр} = f\left(\frac{H}{h}\right)$  для нескольких значений  $\bar{l}_1$  и  $\bar{H}$  изображены на фиг. 6.

### Эпюры напряжений в сечениях балки (второе приближение)

Установим зависимости, характеризующие распределение напряжений в сечениях балки (фиг. 4) в соответствии с принятой диаграммой растяжения с линейным упрочнением.

Для первого (упругого) участка диаграммы:

$$\sigma_1 = \varepsilon_1 E_1 = \varepsilon_1 \frac{\sigma_T}{\varepsilon_T}.$$

Для второго участка (линейного упрочнения):

$$\sigma_2 = \sigma_T + (\varepsilon_2 - \varepsilon_T) \frac{\sigma_B - \sigma_T}{\varepsilon_B - \varepsilon_T} = \sigma_T + (\varepsilon_2 - \varepsilon_T) E_2.$$

Здесь  $\sigma_T$ ,  $\varepsilon_T$  — предел текучести и соответствующая относительная деформация,  
 $\sigma_B$ ,  $\varepsilon_B$  — предел прочности и соответствующая относительная деформация,

$E_2 = \frac{\sigma_B - \sigma_T}{\varepsilon_B - \varepsilon_T}$  — модуль упрочнения.

Принимая линейный закон изменения относительных деформаций  $\varepsilon = \kappa y$ , используя обозначения фиг. 1, 4 и полагая  $M_a \approx M_z$ , получим для эпюры  $I$  фиг. 4.

$$\sigma'_z = \sigma_z - \sigma_m \xi = \frac{M_z}{I} H(1 - \xi) \quad (15)$$

$$\sigma_h = \sigma_n \xi + \sigma_z \frac{h}{H} = \left( \sigma_n - \sigma_m \frac{h}{H} \right) \xi + \sigma_z \frac{h}{H} \approx \left( \frac{1,5 M_a}{h^2} - \frac{1,5 M_a h}{H^3} \right) \xi + \frac{1,5 M_a h}{b H^3}$$

и

$$\sigma_h = \frac{1,5 M_a}{b h^2} \left( \xi - \frac{\xi}{\psi} + \frac{1}{\psi} \right). \quad (16)$$

Здесь  $b$  — ширина балки.

Обозначим через  $2h_T$  высоту неповрежденной части сечения  $a$ , при которой напряжения в некотором сечении с координатой  $z$  достигают предела текучести (фиг. 4, эпюра 2).

Тогда из (16) получим

$$\sigma_h = \sigma_T = \frac{1,5 M_a}{b} \left( \frac{\xi}{h_T^2} - \frac{\xi h_T}{H^3} + \frac{h_T}{H^3} \right). \quad (17)$$

Уравнение (17) может быть записано в виде

$$A h_T^3 + B h_T^2 + D = 0, \quad (18)$$

где

$$A = \frac{1}{H^3} (\xi - 1); \quad B = \frac{\sigma_T b}{1,5 M_a}; \quad D = -\xi.$$

Для образца, выполненного из Д16Т

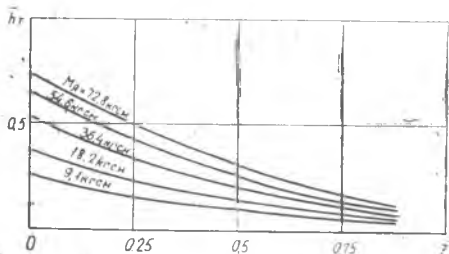
$$\left( \sigma_T = 3500 \frac{\text{кг}}{\text{см}^2}; \quad \sigma_B = 4500 \frac{\text{кг}}{\text{см}^2}; \quad \varepsilon_T = 0,005; \quad \varepsilon_B = 0,16; \right.$$

$$\left. E_1 = 7 \cdot 10^5 \frac{\text{кг}}{\text{см}^2}; \quad E_2 = 5,8 \cdot 10^3 \frac{\text{кг}}{\text{см}^2}; \quad b = 1,4 \text{ см} \right)$$

график зависимости  $\bar{h}_T = \frac{h_T}{H}$  от  $\bar{z} = \frac{z}{B}$  для разных значений  $M_a$  приведен на фиг. 7.

Зависимость  $\xi$  от  $\bar{z}$  взята по результатам расчета первого приближения (фиг. 3).

Обозначим  $h_T$  ординату сечения в месте «излома» эпюры напряжений, т. е. ординату, при которой  $\sigma_y = \sigma_T$  (фиг. 4, эпюра 3).



Фиг. 7.

Так как  $\epsilon_y = \epsilon_T \frac{y}{h_T}$ , то

$$\sigma_y = \sigma_T + (\epsilon_y - \epsilon_T) E_2 = \sigma_T + \epsilon_T \left( \frac{y}{h_T} - 1 \right) E_2.$$

Тогда

$$M_a = 2 \left\{ \int_0^H \sigma'_z \frac{b}{H} y^2 dy + \int_{h_T}^h \left[ \sigma_T + \epsilon_T \left( \frac{y}{h_T} - 1 \right) E_2 \right] b y dy + \right. \\ \left. + \int_0^{h_T} \sigma_T \frac{b}{h_T} y^2 dy \right\} = 2 \left\{ \frac{M_a}{I} (1 - \xi) \frac{H^3 - h^3}{3} b + \right. \\ \left. + \sigma_T b \frac{h^2 - h_T^2}{2} + \frac{\epsilon_T E_2 b (h^3 - h_T^3)}{3 h_T} - \epsilon_T E_2 b \frac{h^2 - h_T^2}{2} + b \sigma_T \frac{h_T^2}{3} \right\}.$$

После упрощений получим:

$$-\frac{\epsilon_T}{2} (E_1 - E_2) b h_T^3 - 1,5 \left[ M_a \left( \xi - \frac{\xi}{\psi} + \frac{1}{\psi} \right) - b h^2 \epsilon_T (E_1 - E_2) \right] h_T + \\ + \epsilon_T E_2 b h^3 = 0. \quad (19)$$

При  $E_2 = E_1$  и  $h = h_T = h_T'$

$$-1,5 M_a \left( \xi - \frac{\xi}{\psi} + \frac{1}{\psi} \right) h_T + \epsilon_T E_1 h_T^3 b = \\ = \frac{1}{H^3} (\xi - 1) h_T^3 - \xi + \frac{\sigma_T h_T^2 b}{1,5 M_a} = 0,$$

что совпадает с равенством (18).

Обозначим:

$$c = \frac{E_2}{E_1}, \quad \bar{h}'_T = \frac{h'_T}{h}, \quad \lambda = 1 - c$$

и, после некоторых преобразований, перепишем выражение (19) в следующем виде:

$$-\frac{1}{3} \lambda \bar{h}'_T{}^3 - \left[ \frac{M_a}{\sigma_T b h^2} \left( \xi - \frac{\xi}{\psi} + \frac{1}{\psi} \right) - \lambda \right] \bar{h}'_T + \frac{c}{1,5} = 0. \quad (20)$$

Найдем зависимость  $\bar{h}'_T$  от  $\bar{z}$  для разных значений  $\bar{h}$  и  $M_a$  для балки из Д16Т. Учтя, что  $c = \frac{E_2}{E_1} = 8,28 \cdot 10^{-3}$ , пренебрегаем слагаемым  $c$  по сравнению с единицей, т. е. полагаем  $\lambda = 1$ . Также пренебрегаем по малости величиной  $\frac{c}{1,5}$ . Последнее допущение справедливо для широкого диапазона значений  $\bar{h}'_T$  и дает значительную погрешность лишь при весьма малых  $\bar{h}'_T = 0,01 - 0,03$ , что соответствует моменту времени, близкому к разрушению.

Приняв упомянутые допущения, приходим к выражению:

$$\frac{\bar{h}'_T{}^2}{3} = 1 - \frac{M_a}{\sigma_T b h^2} \left( \xi - \frac{\xi}{\psi} + \frac{1}{\psi} \right)$$

и

$$\bar{h}'_T = \frac{h'_T}{h} = 1,735 \sqrt{1 - \frac{M_a}{\sigma_T b h^2} \left( \xi - \frac{\xi}{\psi} + \frac{1}{\psi} \right)}. \quad (21)$$

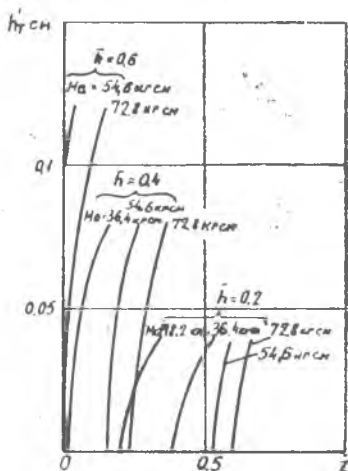
На фиг. 8 изображена зависимость  $\bar{h}'_T$  от  $\bar{z}$  для разных  $M_a$  и  $\bar{h}$ .

### 7. Местные моменты инерции балки (второе приближение)

Определим местные моменты инерции редуцированных площадей в сечениях балки на участке  $-B < z < B$  в соответствии с эпюрами нормальных напряжений, изображенными на фиг. 4.

Пользуясь обозначениями этой фигуры и введя для эпюр 1, 2, 3 редуцированные коэффициенты

$$\varphi_1 = \frac{\sigma'_z}{\sigma_r}, \quad \varphi_2 = \frac{\sigma_y}{\sigma_r},$$



Фиг. 8.

получим для эпюр 1, 2:

$$I_{rz} = \int_F y^2 \varphi dF = 2 \int_0^h by^2 dy + 2 \int_h^H b \frac{\sigma_z'}{\sigma_r} y^2 dy = \\ = \frac{bh^3}{1,5} \left[ 1 + \frac{\sigma_z'}{\sigma_r} (\psi - 1) \right].$$

Так как

$$\frac{\sigma_z'}{\sigma_r} = \left( \frac{M}{I} H - \frac{M}{I} H\xi \right) : \frac{H}{h} \left[ \xi \left( \frac{M}{I_a} h - \frac{M}{I} h \right) + \frac{M}{I} h \right] = \frac{1 - \xi}{\xi(\psi - 1) + 1},$$

то

$$I_{rz} = I_a \left[ 1 + \frac{(\psi - 1)(1 - \xi)}{\xi(\psi - 1) + 1} \right]$$

и окончательно

$$I_{rz} = \frac{I}{\xi(\psi - 1) + 1}. \quad (22)$$

Для эпюры 3:

$$I_{rz} = \int_0^H y^2 \varphi dF = 2b \left\{ \int_0^{h_T} y^2 dy + \int_{h_T}^h \frac{\sigma_y}{\sigma_r} y^2 dy + \int_h^H \frac{\sigma_z'}{\sigma_r} y^2 dy \right\}$$

Учтем, что

$$\sigma_r' = \varepsilon_y E_1 = \frac{\sigma_T y}{h_T}; \quad \sigma_y = \sigma_T + \varepsilon_T E_2 \left( \frac{y}{h_T} - 1 \right);$$

$$\varphi_2 = \frac{\sigma_y}{\sigma_r} = \frac{\sigma_T + \varepsilon_T E_2 \left( \frac{y}{h_T} - 1 \right)}{\frac{\sigma_T y}{h_T}} = \frac{h_T'}{y} k + c;$$

$$\sigma_z' = \frac{M}{I} H (1 - \xi); \quad \sigma_r = \sigma_T \frac{H}{h_T}; \quad \varphi_1 = \frac{\sigma_z'}{\sigma_r} = \frac{M(1 - \xi)h_T'}{I\sigma_T}.$$

Подставив полученные выражения для  $\varphi_1$  и  $\varphi_2$  в последнее выражение для  $I_{rz}$ , после интегрирования и преобразований, получим

$$I_{rz} = 2b \left[ \lambda \left( \frac{1}{2} h_T' h^2 - \frac{h_T'^3}{6} \right) + \frac{h^3 c}{3} \right] + \frac{M_a (1 - \xi) h_T'}{\sigma_T} \left( 1 - \frac{1}{\psi} \right). \quad (23)$$

При  $E_2 = E_1$ ,  $h_T' = h$  получим

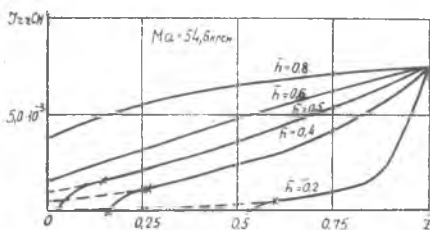
$$c = 1; \quad \sigma_T = \sigma_h; \quad I_{rz} = \frac{bh^3}{1,5} + \frac{M_a (1 - \xi) h}{\sigma_h} \frac{\psi - 1}{\psi}$$

и, подставив  $\sigma_h$  по формуле (16), придем к выражению (22). Для балки из Д16Т при разных значениях  $M_a$  и  $\bar{h} = \frac{h}{H}$  построены зависимости  $I_{rz}$  от  $\bar{z}$ . Для этого определены значения  $\bar{z}_0$ , при которых

$h_T = 0$  и  $\bar{z}_1$ , при которых  $h_T = h$ . При  $\bar{z} \leq \bar{z}_0$   $I_{rz} = 0$  (равновесие невозможно). При  $\bar{z} \geq \bar{z}_1$   $I_{rz}$  определяем по формуле (22). При  $\bar{z}_0 < \bar{z} < \bar{z}_1$   $I_{rz}$  определяем по формуле (23). В качестве примера приведен график  $I_{rz}$  для значения  $M_a = 54,6$  кгсм (фиг. 9). Пунктиром нанесены значения  $I_{rz}$ , полученные без учета пластичности.

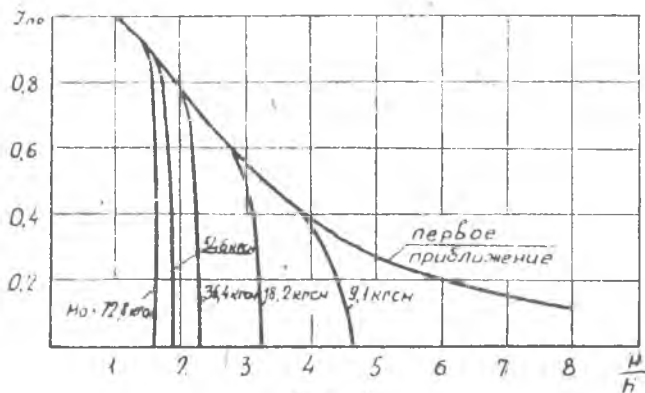
### 8. Приведенная (интегральная) жесткость балки (второе приближение)

Пользуясь графоаналитическим методом с помощью кривых  $I_{rz}$  по  $\bar{z}$  найдем относительную приведенную жесткость балки  $\bar{I}_{пр} = \frac{EI_{пр}}{EI}$



Фиг. 9.

Для значений  $\bar{h}$  и  $M_a$ , при которых  $I_{rz} = 0$ , хотя бы в одном сечении балки имеем  $y_0 = \infty$  и  $\bar{I}_{пр} = 0$ . Для значений  $\bar{h}$  и  $M_a$ , при которых  $I_{rz} = \frac{I}{\xi(\psi-1)+1}$ ,  $\bar{I}_{пр}$  лежит на соответствующей кривой первого приближения (фиг. 6). На фиг. 10 показана зависимость  $\bar{I}_{пр}$  от  $\frac{H}{h}$  для разных  $M_a$ . В связи с высоким значением  $\sigma_T$  для материала Д16Т можно предположить, что значения  $\frac{H}{h}$ , до которых имеет



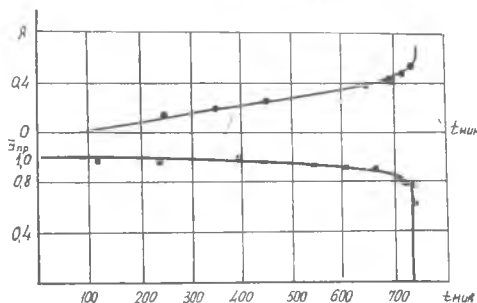
Фиг. 10.

место совпадение кривой  $I_{\text{пр}}$  по  $\frac{H}{h}$  первого приближения с кривыми второго приближения (фиг. 10) близки к разрушающим. Это подтверждается в проведенных нами экспериментах. Таким образом, в моменты времени, близкие к разрушению следует пользоваться кривыми  $\bar{T}_{\text{пр}} = f\left(\frac{H}{h}\right)$ , полученными с учетом упруго-пластических деформаций. В других случаях с достаточной точностью можно пользоваться кривой  $\bar{T}_{\text{пр}} = f\left(\frac{H}{h}\right)$ , представленной на фиг. 6 — кривой первого приближения.

В заключение остановимся на порядке определения меры повреждения.

В процессе эксперимента производится запись напряжений в образце и в рессоре в различные моменты времени. По выражению

$\bar{T}_{\text{пр}} = \frac{(\sigma/\sigma_p)_t}{(\sigma/\sigma_p)_0}$  определяем величину  $\bar{T}_{\text{пр}}$  в соответствующие моменты времени. По фиг. 10 находим  $\frac{H}{h}$ .



Фиг. 11.

Затем определяем меру повреждения

$$A = 1 - \frac{h}{H} = 1 - \bar{h},$$

характеризующую величину усталостной трещины.

На фиг. 11 приведены полученные из эксперимента по описанной методике зависимости  $\bar{T}_{\text{пр}}$  и меры повреждения  $A$  от времени для дуралюминиевого образца при стационарной случайной нагрузке (математическое ожидание  $m_x = 0$ , дисперсия  $D_x = 2\text{мм}^2$ ).

#### ЛИТЕРАТУРА

1. Расчеты на прочность в машиностроении под ред. С. Д. Пономарева т. 2. Машгиз, М., 1958.